

円形アーチの解析のための新しい離散化モデル

New Discrete Elements for Circular Arches

都井 裕*・川井 忠彦*

Yutaka TOI and Tadahiko KAWAI

1. 序

円形アーチの解析のための新しい離散化モデル（曲線要素）を提案する。

数値計算例により、他の曲線要素との比較を行ない、この離散化モデルの線形解の精度が良好であることを示す。また、極限解析への応用例を示す。

2. 新しい離散化モデル

要素座標を Fig. 1 に示す。

円形アーチに蓄えられるひずみエネルギーは、

$$V(u, w) = \frac{1}{2} \int (EA\varepsilon^2 + EI\kappa^2) ds \quad (1)$$

ここに、

$$\begin{aligned} \varepsilon &= du/ds - w/R \\ \kappa &= d^2w/ds^2 - (du/ds)/R \end{aligned} \quad (2a, 2b)$$

と表される。

要素内における変位を、次のように仮定する。

$$\begin{aligned} u(s) &= u_i + s(u_{i+1} - u_i)/l_i \\ w(s) &= w_i + s(w_{i+1} - w_i)/l_i \end{aligned} \quad (3)$$

すなわち、要素内において線形の変位場を考える。

(3)式を用いて、(2)式のひずみ成分を近似する際、軸方向ひずみ ε は要素内で、また、曲率には節点において評価する。すなわち、

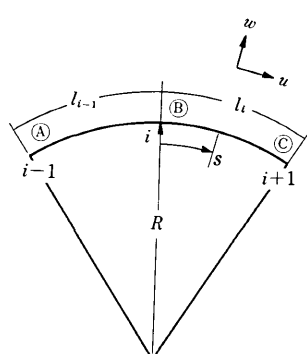


Fig. 1 Typical element of a circular arch

$$\begin{aligned} \varepsilon &= (u_{i+1} - u_i)/l_i + (w_i + w_{i+1})/2R \\ \kappa &= 2\{w_{i-1}/l_{i-1} - (1/l_{i-1} + 1/l_i)w_i + w_{i+1}/l_i\} / \cdot \\ &\quad \cdot (l_{i-1} + l_i) - (u_{i+1} - u_{i-1})/R(l_{i-1} + l_i) \end{aligned} \quad (4a, 4b)$$

と近似する。(4)式中、 ε の第2項の評価は、菊地により用いられたのと同じ部分近似¹⁾である。また、 κ の各項の評価は、差分近似による。

(4)式を、次のようにマトリックス表示しておく。

$$\begin{aligned} \varepsilon &= {}_L B_d \{u_d\} \\ \{B_d\}^t &= {}_L -1/l_i \ 1/2R \ 1/l_i \ 1/2R \ \} \quad (5a) \\ \{u_d\}^t &= {}_L u_i \ w_i \ u_{i+1} \ w_{i+1} \ \} \end{aligned}$$

$$\begin{aligned} \kappa &= {}_L B_b \{u_b\} \\ \{B_b\}^t &= {}_L 2/(l_{i-1} + l_i) \ 1/2R \ 1/l_{i-1} \ 0 \ -(1/l_{i-1}) \\ &\quad + 1/l_i \ -1/2R \ 1/l_i \ \} \\ \{u_b\}^t &= {}_L u_{i-1} \ w_{i-1} \ u_i \ w_i \ u_{i+1} \ w_{i+1} \ \} \quad (5b) \end{aligned}$$

(5)式を(1)式に代入し、Castigliano の定理を適用すれば、次の剛性マトリックスを得る。

$$\begin{aligned} [k_d] &= \int_0^{l_i} EA \{B_d\} {}_L B_d ds = EA l_i \{B_d\} {}_L B_d \\ [k_b] &= \int_{-l_{i-1}/2}^{l_i/2} EI \{B_b\} {}_L B_b ds \\ &= \frac{1}{2} EI(l_{i-1} + l_i) \{B_b\} {}_L B_b \end{aligned} \quad (6)$$

ここに、 $[k_d]$ は軸剛性マトリックスであり、 $[k_b]$ は曲げ剛性マトリックスである。これらの具体形を Table 1 に示しておく。

以上に示した離散化モデルは、軸剛性の評価に、部分近似 (Partial approximation) を用いており、これを model(P) とする。これに対し、軸剛性を要素内で評価するが、部分近似を用いないモデル、また、軸剛性も曲げ剛性同様、節点上で評価するモデルが考えられる。前者は、(3)式の変位関数に対し等価な (Consistent) 軸剛性マトリックスを用いるので、これを model(C)、後者は、軸剛性を節点上に集中化 (Lumping) するので、これを model(L) とする。

model(C) および model(L) における軸方向ひずみ ε の近似式を、次に示す。

* 東京大学生産技術研究所 第2部

Table 1(a) Bending stiffness matrix

| | u_{i-1} | w_{i-1} | u_i | w_i | u_{i+1} | w_{i+1} |
|-----------|--|---|-------|---|--------------------|--|
| X_{i-1} | $\frac{1}{4R^2}$ | | | | | |
| Z_{i-1} | $\frac{1}{2Rl_{i-1}}$ | $\frac{1}{l_{i-1}^2}$ | | | | sym. $(\times \frac{2EI}{l_{i-1} + l_i})$ |
| X_i | 0 | 0 | 0 | | | |
| Z_i | $-\frac{1}{2R} \left(\frac{1}{l_{i-1}} + \frac{1}{l_i} \right)$ | $-\frac{1}{l_{i-1}} \left(\frac{1}{l_{i-1}} + \frac{1}{l_i} \right)$ | 0 | $\left(\frac{1}{l_{i-1}} + \frac{1}{l_i} \right)^2$ | | |
| X_{i+1} | $-\frac{1}{4R^2}$ | $-\frac{1}{2Rl_{i-1}}$ | 0 | $\frac{1}{2R} \left(\frac{1}{l_{i-1}} + \frac{1}{l_i} \right)$ | $\frac{1}{4R^2}$ | |
| Z_{i+1} | $\frac{1}{2Rl_i}$ | $\frac{1}{l_{i-1}l_i}$ | 0 | $-\frac{1}{l_i} \left(\frac{1}{l_{i-1}} + \frac{1}{l_i} \right)$ | $-\frac{1}{2Rl_i}$ | $\frac{1}{l_i^2}$ |

$$\varepsilon = (u_{i+1} - u_i)/l_i + \{w_i + s(w_{i+1} - w_i)/l_i\}/R \quad (7)$$

$$\varepsilon = (u_{i+1} - u_{i-1})/(l_{i-1} + l_i) + w_i/R \quad (8)$$

円形アーチの解析における曲線要素の場合、仮定した変位関数が、剛体変形モードを含むか否かが、良好な収束性および精度を確保する上で重要となる。山田は、文献2)において、円形アーチの有限要素解析に用いられる変位関数の、簡単な評価法を提案している。この評価法を、前述の model(C), model(P) および model(L) に適用すると、model(P) と model(L) が、剛体モードを含むということがわかる。よって、次節では、model(P) および model(L) による数値計算例を示す。

3. 数値解析例

3.1 弾性解析 線形解の精度を調べるために、開き角 90° の片持円形アーチの解析を行ない、他の曲線要素との比較を行なう。比較に用いた曲線要素を、それぞれの変位関数とともに、以下に示す。

I 菊地の部分近似モデル¹⁾

$$\text{軸剛性: } u(s) = a_1 + a_2 s \quad (9)$$

$$w(s) = (w_i + w_{i+1})/2 \quad (10a)$$

曲げ剛性: (9)式および

$$w(s) = a_3 + a_4 s + a_5 s^2 + a_6 s^3 \quad (10b)$$

(β は要素の開き角の $1/2$)

II 菊地モデルの変形 (山田²⁾)

(10a)式の代わりに

$$w(s) = (w_i + w_{i+1})/2 + R\beta(\theta_i - \theta_{i+1})/6 \quad (11)$$

III 菊地モデルの変形 (山田²⁾)

(10a)式の代わりに

$$w(s) = (w_i + w_{i+1})/2 + R\beta(\theta_i - \theta_{i+1})/6 + \beta(u_i - u_{i+1})/2 \quad (12)$$

Table 1(b) Axial stiffness matrix

| | u_i | w_i | u_{i+1} | w_{i+1} |
|-----------|------------------|--------------------|-----------------|--------------------|
| X_i | $\frac{1}{l_i}$ | | | |
| Z_i | $-\frac{1}{2R}$ | $\frac{l_i}{4R^2}$ | | |
| X_{i+1} | $-\frac{1}{l_i}$ | $\frac{1}{2R}$ | $\frac{1}{l_i}$ | |
| Z_{i+1} | $-\frac{1}{2R}$ | $\frac{l_i}{4R^2}$ | $\frac{1}{2R}$ | $\frac{l_i}{4R^2}$ |

VI 本報告で提案した新しい離散化モデル(model(P)) 解析は、矩形断面アーチ(深さ t)に対し、 $R/t = 20, 180$ の場合について行なった。

得られた収束曲線を、曲線要素 I, II, III の収束曲線²⁾とともに、Fig. 2 と Fig. 3 に示す。本離散化モデルは、1節点における自由度が 2(他の曲線要素では 3)であるにもかかわらず、同じ要素分割により、かなり良好な精度の解を与えていることがわかる。

3.2 弹塑性解析(極限解析) すでに示したように model(P) の線形解の精度は、きわめて良好であるが、弾塑性解析には、軸剛性と曲げ剛性をともに節点上に集中化した model(L) が、model(P) よりも使いやすい。

Table 2 には、model(P) と model(L) による線形解の誤差の比較を示した。model(L) は、同じ分割数では、model(P) の 2 ~ 4 倍の誤差を示すものの、変位の収束性に関しては問題がないと見てよい。ところが、境界条件を変えた他の解析例において、軸力の精度が不良となるケースがあった。そこで、弾塑性解析を行なう際、次のように model(L) を若干修正して用いた。すなわち、(7)式および(4b)式の代わりに、

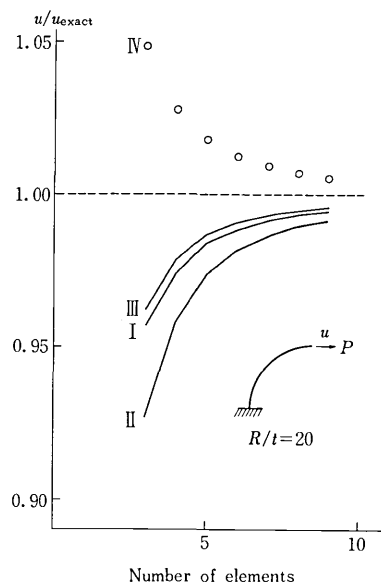


Fig. 2 (a) Convergence curves

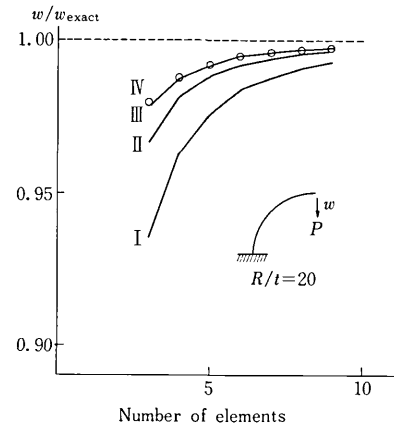


Fig. 3 (a) Convergence curves

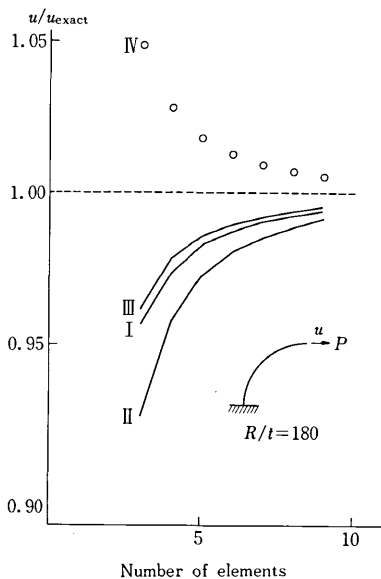


Fig. 2 (b) Convergence curves

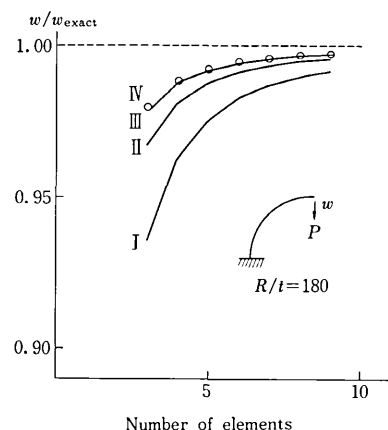


Fig. 3 (b) Convergence curves

(L) を (13a, b) 式の形で用いれば、軸力の精度も確保される。

弾塑性解析例として、両端ピン支持で、中央集中荷重を受ける矩形断面アーチ(深さ t)の極限解析を行なう。

解析に先立ち、次の諸無次元量を定義しておく。

$$\left\{ \begin{array}{l} \text{合応力: } n = N/N_0, \quad m = M/M_0 \quad (\text{ここに, } N_0 \text{ は全断面塑性軸力, } M_0 \text{ は全断面塑性モーメント}) \\ \text{形状パラメーター: } h = M_0/2RN_0 = t/8R \\ \text{荷重: } \bar{P} = PR/2M_0 \end{array} \right.$$

Fig. 4 に、降伏曲線を示す。本解析では

$$n^2 + m - 1 = 0 \quad (14)$$

で表される正しい降伏曲線を用いる(図中の実線)。解の比較に用いる Onat と Prager による極限解析では、図中に破線で示す近似曲線を用いている。

ここに、 \tilde{u}_i と \tilde{u}_{i+1} は、それぞれ Fig. 1 における要素⑧⑨および⑩⑪の中心点の軸方向変位である。model

Table 2 (a) Comparison of convergence of model (P) and model (L)

| Number of elements | Error ($u/u_{\text{exact}} - 1.0 \times 100 (\%)$) | | | |
|--------------------|--|-----------|-------------|-----------|
| | $R/t = 20$ | | $R/t = 180$ | |
| | model (P) | model (L) | model (P) | model (L) |
| 3 | 4.83 | 10.11 | 4.84 | 10.01 |
| 4 | 2.77 | 7.19 | 2.77 | 7.08 |
| 5 | 1.79 | 3.34 | 1.79 | 3.24 |
| 6 | 1.25 | 2.65 | 1.25 | 2.56 |
| 7 | 0.92 | 1.70 | 0.92 | 1.61 |
| 8 | 0.70 | 1.42 | 0.70 | 1.33 |
| 9 | 0.56 | 1.05 | 0.56 | 0.96 |

Table 2 (b) Comparison of convergence of model (P) and model (L)

| Number of elements | Error ($w/w_{\text{exact}} - 1.0 \times 100 (\%)$) | | | |
|--------------------|--|-----------|-------------|-----------|
| | $R/t = 20$ | | $R/t = 180$ | |
| | model (P) | model (L) | model (P) | model (L) |
| 3 | -2.04 | 8.49 | -2.04 | 8.49 |
| 4 | -1.21 | 4.65 | -1.21 | 4.65 |
| 5 | -0.79 | 2.94 | -0.79 | 2.94 |
| 6 | -0.56 | 2.03 | -0.56 | 2.03 |
| 7 | -0.41 | 1.48 | -0.41 | 1.48 |
| 8 | -0.32 | 1.13 | -0.32 | 1.13 |
| 9 | -0.25 | 0.89 | -0.25 | 0.89 |

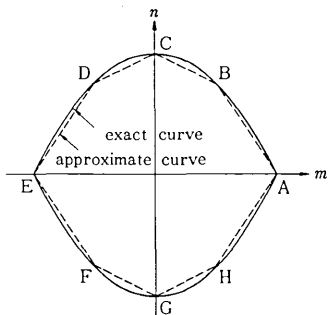


Fig. 4 Yield curves for a circular arch

解析は、1/2 解析とし、要素数は 10(等分割)である。

Fig. 5 と Fig. 6 に、解析結果を示す。Fig. 6 では、本解析結果による最高荷重を、Onat と Prager による極限解析の結果³⁾と比較しているが、アーチの開き角が小さい場合を除いて、両者は良好に一致している。

4. 結論

円形アーチの解析のための新しい離散化モデル(model (P))および model(L))を提案した。その特長は、

- (1) 1節点 2自由度 (u_i, w_i) の曲線要素である。
- (2) model(P) の線形解の精度は、きわめて良好で

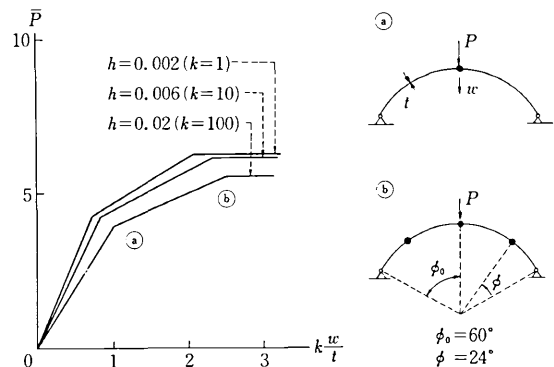


Fig. 5 Elasto-plastic analysis of a pin-supported circular arch subjected to a vertical load at the center (a)

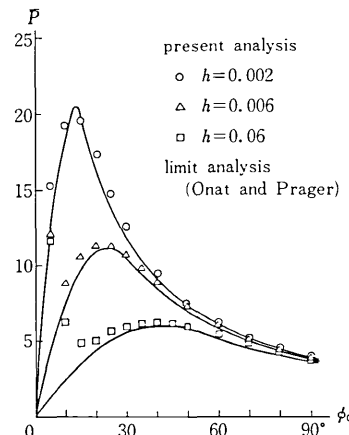


Fig. 6 Collapse load for a pin-supported circular arch subjected to a vertical load at the center

ある。

- (3) model(L) は、極限解析への応用が容易である。

(1978年5月1日受理)

参考文献

- 1) F. Kikuchi, Theory and Examples of Partial Approximation in the Finite Element Method, Int. J. for Num. Meth. in Eng., Vol. 10 (1976) 115-122
- 2) Y. Yamada and Y. Ezawa, On Curved Finite Elements for the Analysis of Circular Arches, Int. J. for Num. Meth. in Eng., Vol. 11 (1977) 1635-1651
- 3) P. G. Hodge Jr., Plastic Analysis of Structures, McGraw-Hill (1959)